

Г. С. Кит, М. В. Хай, И. П. Лаушник

**ПЕРВАЯ ОСНОВНАЯ ЗАДАЧА ТЕОРИИ УПРУГОСТИ
ДЛЯ ТЕЛА С ДИСКООБРАЗНЫМИ ТРЕЩИНАМИ**

Пусть в упругом бесконечном теле, связанном с декартовой системой координат $Ox_1x_2x_3$, имеется N плоских трещин (разрезов) произвольной конфигурации, находящихся под действием касательных N_{1n} , N_{2n} и нормальных N_{3n} усилий ($n = \overline{1, N}$).

Обозначим через S_n область, которую занимает n -я трещина, а через S_n^+ и S_n^- — противоположные ее поверхности. При деформации эти поверхности смещаются относительно друг друга, вследствие чего компоненты вектора перемещений разрывны при переходе с поверхности S_n^+ на S_n^- . Поэтому при решении задачи будем имитировать трещины скачками смещений, которые характеризуются функциями $\alpha_{in}(P_n)$, где $P_n(x_{1n}, x_{2n}, 0)$ — точка области S_n в локальной системе координат $O_nx_{1n}x_{2n}x_{3n}$. Эта система выбрана так, что координатная плоскость $x_{1n}O_nx_{2n}$ совпадает с плоскостью расположения трещины.

Компоненты u_{in} вектора перемещений \vec{U}_n , согласно результатам работы [3], определим через неизвестный скачок смещений поверхностей n -й трещины по формулам

$$u_{in}(M_n) = \frac{\partial \Psi_{in}(M_n)}{\partial x_{3n}} - \frac{1-2\nu}{2(1-\nu)} \frac{\partial \Psi_{3n}(M_n)}{\partial x_{in}} - \frac{x_{3n}}{2(1-\nu)} \frac{\partial \Psi_n(M_n)}{\partial x_{in}} \quad (i = 1, 2), \quad (1)$$

$$u_{3n}(M_n) = \frac{\partial \Psi_{3n}(M_n)}{\partial x_{3n}} + \frac{1-2\nu}{2(1-\nu)} \left[\frac{\partial \Psi_{1n}(M_n)}{\partial x_{1n}} + \frac{\partial \Psi_{2n}(M_n)}{\partial x_{2n}} \right] - \frac{x_{3n}}{2(1-\nu)} \frac{\partial \Psi_n(M_n)}{\partial x_{3n}},$$

где ν — коэффициент Пуассона;

$$\Psi_n(M_n) = \sum_{s=1}^3 \frac{\partial \Psi_{sn}(M_n)}{\partial x_{3n}}; \quad \Psi_{in}(M_n) = \iint_{S_n} \frac{\alpha_{in}(P_n) dS_n}{R_n}; \quad (2)$$

$R_n = [(x_{1n} - \xi_1)^2 + (x_{2n} - \xi_2)^2 + x_{3n}^2]^{1/2}$ — расстояние между точками $M_n(x_{1n}, x_{2n}, x_{3n})$ и P_n области S_n .

Если локальные системы координат выбраны так, что S_n^\pm соответствует $x_{3n} = \pm 0$, то из формул (1) и (2) следует, что $\alpha_{in} = (u_{in}^- - u_{in}^+)/4\pi$ и равны нулю на контуре области S_n .

Учитывая формулы (1) и (2), для компонент тензора напряжений запишем выражения

$$\begin{aligned} \sigma_{i3n} &= \frac{G}{1-\nu} \left[\frac{\partial^2 \Psi_{in}}{\partial x_{3n}^2} - (-1)^i \nu \frac{\partial}{\partial x_{(3-i)n}} \left(\frac{\partial \Psi_{1n}}{\partial x_{2n}} - \frac{\partial \Psi_{2n}}{\partial x_{1n}} \right) - \right. \\ &\quad \left. - x_{3n} \frac{\partial^2 \Psi_n}{\partial x_{in} \partial x_{3n}} \right] \quad (i = 1, 2), \\ \sigma_{33n} &= \frac{G}{1-\nu} \left[\frac{\partial^2 \Psi_{3n}}{\partial x_{3n}^2} - x_{3n} \frac{\partial^2 \Psi_n}{\partial x_{3n}^2} \right], \\ \sigma_{12n} &= \frac{G}{1-\nu} \left\{ - \frac{\partial^2}{\partial x_{1n} \partial x_{2n}} [(1-2\nu) \Psi_{3n} + x_{3n} \Psi_n] + \right. \\ &\quad \left. + (1-\nu) \frac{\partial}{\partial x_{3n}} \left(\frac{\partial \Psi_{1n}}{\partial x_{2n}} + \frac{\partial \Psi_{2n}}{\partial x_{1n}} \right) \right\}, \end{aligned} \quad (3)$$

$$\sigma_{iin} = \frac{G}{1-\nu} \left\{ -\frac{\partial^2}{\partial x_{in}^2} [(1-2\nu)\Psi_{3n} + x_{3n}\Psi_n] + \right. \\ \left. + 2\frac{\partial}{\partial x_{3n}} \left[\nu\Psi_n + (1-\nu)\frac{\partial\Psi_{in}}{\partial x_{in}} \right] \right\} \quad (i = 1, 2),$$

где G — модуль сдвига.

По известным σ_{ijn} можно определить внутренние усилия в теле на произвольной площадке с нормалью \vec{n} , обусловленные скачками смещений поверхностей всех трещин. В частности, если нормаль \vec{n} совпадает с осью $O_n x_{3n}$, то суммарные усилия на поверхности S_n должны равняться заданным внешним усилиям на трещине. Удовлетворяя этому условию, для определения $\alpha_{in}(P_n)$ получаем интегральные уравнения

$$\Delta_n \iint_{S_n} \frac{\alpha_{in}(P_n) dS_n}{R_{0n}} + (-1)^i (1 - \delta_{i3}) \nu \frac{\partial}{\partial x_{(3-i)n}} \iint_{S_n} \left[\alpha_{1n}(P_n) \frac{\partial R_{0n}^{-1}}{\partial x_{2n}} - \right. \\ \left. - \alpha_{2n}(P_n) \frac{\partial R_{0n}^{-1}}{\partial x_{1n}} \right] dS_n - \sum_{k=1}^N \iint_{S_k} \sum_{s=1}^3 \alpha_{sk}(P_k) \chi_{is}(P_k, M_n) dS_k = \\ = \frac{1-\nu}{G} N_{in}(M_n) \quad (n = \overline{1, N}), \quad (i = \overline{1, 3}), \quad M_n \in S_n. \quad (4)$$

Здесь N_{in} — заданная на n -й трещине нагрузка; δ_{ij} — символ Кронекера; штрих возле суммы означает, что в ней опущен член с номером $k = n$;

$$R_{0n} = |\overrightarrow{P_n M_n}|; \quad R_{kn} = |\overrightarrow{P_k M_n}|; \quad \Delta_n = \frac{\partial^2}{\partial x_{1n}^2} + \frac{\partial^2}{\partial x_{2n}^2}; \quad (5)$$

$$\chi_{is}(P_k, M_n) = \hat{K}_{is} \left(\frac{1}{R_{kn}} \right) - x_s \frac{\partial}{\partial x_s} \hat{L}_i \left(\frac{1}{R_{kn}} \right),$$

причем \hat{K}_{is} и \hat{L}_i — операторы

$$\left(\begin{array}{c} K_{is} \\ \hat{L}_i \end{array} \right) = \sum_{p=1}^3 \left[\left(\begin{array}{c} K_{pis} \\ l_{ip3} \end{array} \right) \frac{\partial^2}{\partial x_p^2} + \left(\begin{array}{c} K_{pits} \\ l_{ip3}^* \end{array} \right) \frac{\partial^2}{\partial x_p \partial x_{(p+1)}} \right],$$

в которых $x_4 \equiv x_1$, $x_p = e_{pkn} d_{kn} + \sum_{j=1}^3 l_{pj} x_{jn}$, e_{pkn} — направляющие косинусы вектора \vec{d}_{kn} , соединяющего точки O_k и O_n с осями $O_k x_{pk}$; $d_{kn} = |\vec{d}_{kn}|$; величины l_{ji} — косинусы углов между осями $O_n x_{in}$ и $O_k x_{jk}$ ($i, j = \overline{1, 3}$). Коэффициенты K_{pits} , K_{pis}^* , l_{pi3} и l_{pi3}^* выражаются соотношениями

$$K_{1ts} = \nu \delta_{2s} l_{2t3}^* - (1-2\nu) \delta_{3s} l_{1t3}, \quad K_{2ts} = \nu \delta_{1s} l_{3t3}^* - (1-2\nu) \delta_{3s} l_{2t3},$$

$$K_{3ts} = \delta_{1s} l_{3t3}^* + \delta_{2s} l_{2t3}^* + \delta_{3s} [2\nu(l_{1t3} + l_{2t3}) + l_{3t3}],$$

$$K_{1is}^* = -\nu(\delta_{1s} l_{2i3}^* + \delta_{2s} l_{3i3}^*) - (1-2\nu) \delta_{3s} l_{1i3}^*,$$

$$K_{3is}^* = 2\delta_{1s}(l_{1i3} + \nu l_{2i3}) + (1-\nu) \delta_{2s} l_{1i3}^*,$$

$$K_{2is}^* = 2\delta_{2s}(\nu l_{1i3} + l_{2i3}) + (1-\nu) \delta_{1s} l_{1i3}^*,$$

$$l_{pi3} = l_{pi} l_{p3}, \quad l_{pi3}^* = l_{pi} l_{(p+1)3} + l_{(p+1)i} l_{p3}, \quad l_{4i} \equiv l_{1i}.$$

Решение интегральных уравнений (4) для произвольной области S_n является довольно сложной задачей. Однако для круговой области S_n (дискообразные трещины) можно построить приближенное решение уравнений (4) при некоторых ограничениях относительно расположения трещин. Для

этого сведем интегральные уравнения (4) к решению двумерных интегральных уравнений типа Фредгольма.

Так как функции α_{in} равны нулю на контуре области S_n , то с результатов работы [4] можно положить

$$\alpha_{in}(M_n) = -\frac{1}{4\pi^2} \iint_{S_n} \varepsilon_{in}(P_n) \left[\frac{1}{|P_n M_n|} + \iint_{S_n^*} \frac{\mu_n(P_n, P_n^*)}{|P_n^* M_n|} dS_n^* \right] dS_n, \quad (6)$$

где $\varepsilon_{in}(P_n)$ — неизвестные функции;

$$\mu_n[P_n(\alpha, \beta), P_n^*(u, v)] = -\frac{\sqrt{(\alpha_n^2 - \alpha^2 - \beta^2)(u^2 + v^2 - a_n^2)^{-1}}}{\pi^2 [(\alpha - u)^2 + (\beta - v)^2]}, \quad (7)$$

причем a_n — радиус круговой области S_n , $P_n \in S_n$; S_n^* — внешняя по отношению к S_n область, $P_n^* \in S_n^*$. Здесь и в дальнейшем предполагаем, что локальные системы координат выбраны в центрах дискообразных трещин.

Используя результаты работ [4, 5], из формулы (6) получаем соотношения

$$\frac{\partial}{\partial x_{jn}} \iint_{S_n} \frac{\alpha_{in}(\xi_1, \xi_2)}{R_{0n}} d\xi_1 d\xi_2 = \frac{1}{2\pi} \iint_{-\infty}^{+\infty} \frac{\beta_{in}(\xi_1, \xi_2)(x_{jn} - \delta_{j1}\xi_1 - \delta_{j2}\xi_2)}{(x_{1n} - \xi_1)^2 + (x_{2n} - \xi_2)^2} d\xi_1 d\xi_2, \quad (8)$$

$$\Delta_n \iint_{S_n} \frac{\alpha_{in}(P_n)}{R_{0n}} dS_n = \varepsilon_{in}(M_n), \quad M_n \in S_n,$$

где

$$\begin{aligned} \beta_{in}(P_n) &= \varepsilon_{in}(P_n) \text{ для } P_n \in S_n; \\ \beta_{in}(P_n) &= \iint_{S_n} \varepsilon_{in}(P_n^*) \mu_n(P_n^*, P_n) dS_n^* \text{ для } P_n \in S_n^*. \end{aligned} \quad (9)$$

Если вместо функций $\alpha_{in}(P_n)$ ввести в рассмотрение функции $\varepsilon_{in}(P_n)$ по формулам (6), то интегральные уравнения (4) сведутся к интегральным уравнениям типа Фредгольма для определения $\varepsilon_{in}(P_n)$, а именно:

$$\begin{aligned} \varepsilon_{in}(M_n) + \frac{(-1)^i(1 - \delta_{i3})}{2} v \frac{\partial W_n(M_n)}{\partial x_{(3-i)n}} - \sum_{k=1}^N \iint_{S_k} \sum_{s=1}^3 \alpha_{sk}(P_k) \chi_{is}(P_k, M_n) dS_k = \\ = \frac{1-v}{G} N_{in}(M_n) \quad (n = \overline{1, N}), \quad M_n \in S_n, \end{aligned} \quad (10)$$

$$W_n(M_n) = \frac{1}{\pi} \iint_{-\infty}^{+\infty} \frac{(x_{2n} - \xi_2) \beta_{1n}(\xi_1, \xi_2) - (x_{1n} - \xi_1) \beta_{2n}(\xi_1, \xi_2)}{(x_{1n} - \xi_1)^2 + (x_{2n} - \xi_2)^2} d\xi_1 d\xi_2, \quad (11)$$

причем α_{in} и β_{in} выражаются через ε_{in} соответственно по формулам (6), (9).

Построим приближенное решение системы интегральных уравнений (10). Обозначим через d_n величину $\min d_{kn}$ и предположим, что $d_n > 2a_n$, $d_n > 2a_k$, где a_k — радиусы трещин, соседних с n -й трещиной. Тогда ядра интегральных уравнений (10) разлагаются в сходящиеся ряды

$$\chi_{is}(P_k, M_n) = \sum_{p=0}^{\infty} \frac{\chi_{is}^{(p)}(P_k, M_n)}{d_n^{p+3}}.$$

Если представить функции ε_{in} в виде ряда

$$\varepsilon_{in}(M_n) = \sum_{p=0}^{\infty} \frac{\varepsilon_{inp}(M_n)}{d_n^p},$$

то из уравнений (10) для определения ε_{inr} получим системы интегральных уравнений в виде

$$\varepsilon_{inr}(M_n) + \frac{(-1)^i (1 - \delta_{i3}) \nu}{2} \frac{\partial W_{nr}(M_n)}{\partial x_{(3-i)n}} = \delta_{r0} \frac{1 - \nu}{G} N_{in}(M_n) + \sum_{k=1}^N \sum_{p=0}^{r-3} \iint_{S_k} \sum_{s=1}^3 \alpha_{skp}(P_k) \chi_{is}^{(r-3-p)}(P_k, M_n) dS_k. \quad (12)$$

В формулах (12) α_{skp} определяются через ε_{skp} соотношениями (6), а соответствующие величины следует принять равными нулю, если хотя бы один из индексов отрицательный. Функции W_{nr} определяются через ε_{inr} по формулам (11), если в последних заменить ε_{in} на ε_{inr} .

Так как функции $\chi_{is}^{(p)}$ есть многочлены p -й степени переменных x_{1n}, x_{2n} , то можно убедиться в том, что функции ε_{inr} необходимо искать в виде многочленов степени $r - 3$ с неизвестными коэффициентами, которые определяются из соответствующей системы линейных алгебраических уравнений. Это непосредственно следует из выражений (11), если при вычислении интегралов воспользоваться результатами работ [2, 6].

Располагая функциями ε_{in} , можно непосредственно определить коэффициенты интенсивности напряжений k_{in} [7]. Учитывая выражения компонент напряжений через функции α_{in} , а также формулы (6) и (7), получаем

$$k_{in}(\varphi_n, a_n) = \frac{G}{(1 - \nu) \pi \sqrt{a_n \pi}} \iint_{S_n} \frac{\sqrt{a_n^2 - \xi_1^2 - \xi_2^2} f_{in}(\xi_1, \xi_2, \varphi_n, a_n)}{(\xi_1 - a_n \cos \varphi_n)^2 + (\xi_2 - a_n \sin \varphi_n)^2} d\xi_1 d\xi_2 - \frac{\delta_{i3} (-1)^i G \nu}{2(1 - \nu)} K_n(\varphi_n, a_n) \quad (i = \overline{1, 3}), \quad (13)$$

где φ_n — угловая координата точек контура n -й трещины;

$$K_n(\varphi_n, a_n) = \lim_{r_n \rightarrow a_n} \sqrt{\frac{\pi(r_n^2 - a_n^2)}{a_n}} \frac{\partial}{\partial r_n} \iint_{S_n} \frac{\mu_n(r_n \cos \varphi_n, r_n \sin \varphi_n, \xi_1, \xi_2)}{W_n^{-1}(\xi_1, \xi_2)} d\xi_1 d\xi_2; \quad (14)$$

$$f_{1n} = \varepsilon_{3n}; \quad f_{2n} = \varepsilon_{1n} \cos \varphi_n + \varepsilon_{2n} \sin \varphi_n; \quad f_{3n} = -\varepsilon_{1n} \sin \varphi_n + \varepsilon_{2n} \cos \varphi_n;$$

μ_n — функция, определяемая формулой (7), а W_n — соотношениями (11) и (9).

Если трещины находятся под действием постоянного внутреннего давления N_n и их центры размещены вдоль прямой линии, то выражения для коэффициентов интенсивности напряжений можно записать в виде ряда

$$\begin{aligned} k_{1n}(\varphi_n) &= k_n \left\{ 1 - \frac{2}{3\pi} \sum_{k=1}^N \varepsilon_n^3 \nu_{kn}^3 \left[F_{33} + \right. \right. \\ &\quad \left. \left. + \frac{2}{3} \frac{d_n}{d_{kn}} (\Omega_{333} \cos \varphi_n + \Omega_{433} \sin \varphi_n) \varepsilon_n \right] \right\} + 0(\varepsilon_n^5), \\ k_{2n}(\varphi_n) &= -\frac{4k_n}{3\pi(2 - \nu)} \sum_{k=1}^N \varepsilon_n^3 \nu_{kn}^3 \{ F_{13} \cos \varphi_n + F_{23} \sin \varphi_n + \\ &\quad + \frac{1}{6} \frac{d_n}{d_{kn}} [2(\Omega_{413} + \Omega_{323}) \sin 2\varphi_n + \Omega_{313} (4 \cos^2 \varphi_n - \nu) + \\ &\quad + \Omega_{423} (4 \sin^2 \varphi_n - \nu)] \varepsilon_n \} + 0(\varepsilon_n^5), \\ k_{3n}(\varphi_n) &= \frac{4(1 - \nu) k_n}{3\pi(2 - \nu)} \sum_{k=1}^N \varepsilon_n^3 \nu_{kn}^3 \{ F_{13} \sin \varphi_n - F_{23} \cos \varphi_n + \\ &\quad + \frac{1}{6} \frac{d_n}{d_{kn}} [2(\Omega_{313} - \Omega_{433}) \sin 2\varphi_n + (\Omega_{413} - \Omega_{323}) \frac{\nu}{1 - \nu} + \\ &\quad + 4\Omega_{413} \sin^2 \varphi_n - 4\Omega_{323} \cos^2 \varphi_n] \varepsilon_n \} + 0(\varepsilon_n^5), \end{aligned} \quad (15)$$

где

$$k_n = 2N_n \sqrt{a_n/\pi}; \quad \varepsilon_n = a_n/d_n; \quad d_n = \min a_{kn},$$

$$v_{kn} = a_n d_n N_k / a_k d_{kn} N_n;$$

$$F_{ijs} = P_{js} + P_{js}^* - e_{3kn} (T_{js} + T_{js}^*) \quad (j, s = \overline{1, 3});$$

$$\Omega_{ijs} = -[3P_{js} + 5P_{js}^* - e_{3kn} (7T_{js} + 5T_{js}^*)] b_{(i-2)} +$$

$$+ 3S_{ijs} + e_{3kn} (15S_{ijs}^* - Q_{ijs}) - (T_{js} + T_{js}^*) l_{3(i-2)};$$

$$b_j = l_{2j} e_{2kn} + l_{3j} e_{3kn}; \quad P_{js} = - \sum_{q=1}^3 K_{qjs};$$

$$P_{js}^* = 3 \sum_{q=2}^3 e_{qkn}^2 K_{qjs} + e_{2kn} e_{3kn} K_{2js}^*;$$

$$T_{js} = -15e_{skn} \left(\sum_{q=2}^3 e_{qkn}^2 l_{qj3} + e_{2kn} e_{3kn} l_{2j3}^* \right);$$

$$T_{js}^* = 3e_{skn} \sum_{q=2}^3 (1 + 2\delta_{qs}) l_{qj3} + 3[(1 - \delta_{3s}) l_{1j3}^* e_{(3-s)kn} +$$

$$+ (1 - \delta_{2s}) l_{3j3}^* e_{(4-s)kn} + (1 - \delta_{1s}) l_{2j3}^* e_{(5-s)kn}];$$

$$S_{ijs} = e_{2kn} [K_{1js}^* l_{1(i-2)} + 2K_{2js} l_{2(i-2)}] + 2e_{3kn} K_{3js} l_{3(i-2)} +$$

$$+ [e_{2kn} l_{3(i-2)} + e_{3kn} l_{2(i-2)}] K_{2js}^*;$$

$$S_{ijs}^* = \sum_{q=2}^3 e_{qkn} l_{qj3} [e_{qkn} (\delta_{1s} l_{1(i-2)} + 3\delta_{qs} l_{q(i-2)}) + (2e_{(5-q)kn} l_{q(i-2)} +$$

$$+ e_{qkn} l_{(5-q)(i-2)}) \delta_{(5-q)s} + (e_{2kn} \delta_{2s} + e_{3kn} \delta_{3s}) (e_{2kn} l_{1j3}^* + e_{3kn} l_{3j3}^*) l_{1(i-2)} +$$

$$+ l_{2j3}^* [e_{2kn} e_{3kn} (\delta_{1s} l_{1(i-2)} + 2\delta_{2s} l_{2(i-2)} + 2\delta_{3s} l_{3(i-2)}) +$$

$$+ e_{2kn}^2 \delta_{2s} l_{3(i-2)} + e_{3kn}^2 \delta_{3s} l_{2(i-2)})];$$

$$Q_{ijs} = 3 \sum_{q=1}^3 \delta_{qs} l_{q(i-2)} [(1 + 2\delta_{2s}) l_{2j3} + (1 + 2\delta_{3s}) l_{3j3}] +$$

$$+ 3l_{1j3}^* (\delta_{1s} l_{2(i-2)} + \delta_{2s} l_{1(i-2)}) + 3l_{3j3}^* (\delta_{1s} l_{3(i-2)} +$$

$$+ \delta_{3s} l_{1(i-2)}) + 3l_{2j3}^* (\delta_{2s} l_{3(i-2)} + \delta_{3s} l_{2(i-2)}).$$

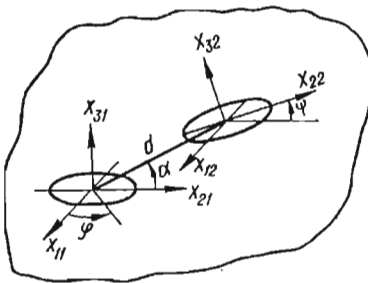


Рис. 1

Если центры дискообразных трещин не размещены на одной линии, то коэффициенты интенсивности напряжений определяются по формулам (15), но выражения для F_{ji} и Ω_{ijs} имеют более громоздкий вид.

В качестве примера рассмотрим две дискообразные трещины одинакового радиуса a , которые нагружены внутренним давлением p . Зададим параметры, характеризующие расположение трещин в пространстве, в виде $l_{12} = l_{13} = l_{21} = l_{31} = e_{1kn} = = 0$, $l_{11} = 1$, $l_{22} = l_{33} = \cos \psi$, $l_{23} = = -l_{32} = \sin \psi$, $e_{212} = \cos \alpha$, $e_{312} = \sin \alpha$,

$e_{221} = -\cos(\alpha - \psi)$, $e_{321} = -\sin(\alpha - \psi)$. Это соответствует случаю, когда первая трещина неподвижна, а вторая произвольно смещается относительно первой (рис. 1). Угол ψ характеризует поворот второй трещины относительно своей оси O_2x_{12} , а величины α и d — смещение центра второй трещины относительно первой.

На рис. 2—7 приведены графики зависимостей коэффициентов интенсивности напряжений $\tilde{k}_i = k_i/k_\infty$ ($k_\infty = 2\rho\sqrt{a/\pi}$) от угловой координаты φ , вычисленные по формулам (15), причем рис. 2, 4, 6 относятся к неподвижной, а рис. 3, 5, 7 — к подвижной трещинам. При вычислениях положено $\nu = 0,3$; $d = 4a$ ($\epsilon_n = 1/4$). Сплошные кривые на всех рисунках соответствуют значениям $\alpha = \frac{\pi}{2}$, штриховые — $\alpha = \frac{\pi}{3}$, штрихпунктирные — $\alpha = 0$. Циф-

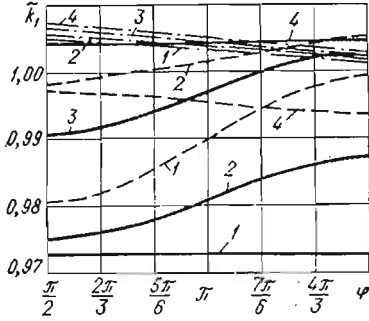


Рис. 2

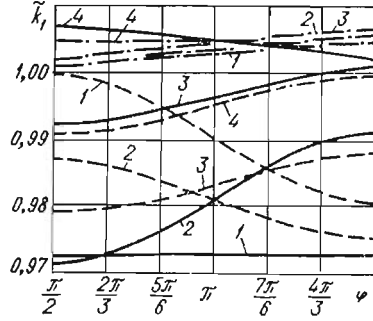


Рис. 3

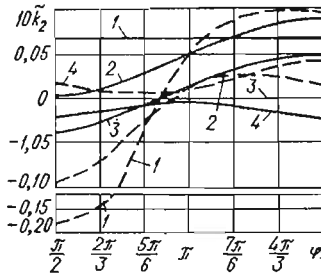


Рис. 4

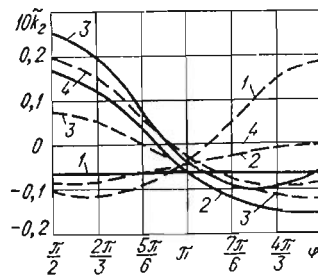


Рис. 5

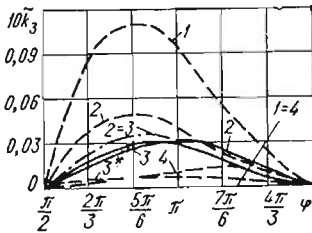


Рис. 6

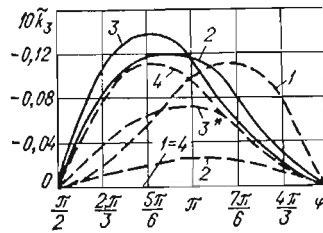


Рис. 7

рами 1—4 обозначены графики, построенные соответственно при значениях $\psi = 0, \frac{\pi}{6}, \frac{\pi}{3}, \frac{\pi}{2}$. Звездочка возле цифр означает, что соответствующие коэффициенты интенсивности напряжений имеют знак, противоположный указанному на рисунках.

Из графиков следует, что для соосных параллельных трещин коэффициент k_1 меньше, чем в случае одной трещины. Для неподвижной трещины значения k_1 при произвольном смещении второй трещины всегда больше, чем в случае параллельных соосных трещин. Изменение k_1 вдоль контура трещин существенно зависит от углов α и ψ . Для обеих трещин при $\alpha = 0$ и произвольном ψ изменение k_1 вдоль контура незначительно, причем его величина больше, чем в случае одной трещины. Коэффициенты интенсивности напряжений k_2 и k_3 являются соизмеримыми величинами и изменяются в

незначительных пределах. Числовые подсчеты показали, что при $d = 4a$ для произвольных α , ψ и φ $|k_2| < 0,03k_\infty$, $|k_3| < 0,02k_\infty$.

Если трещины размещены в одной плоскости, то полученные по формулам (15) результаты совпадают с приведенными в работе [1].

ЛИТЕРАТУРА

1. *Андрейкив А. А.* Решение задачи термоупругости для полупространства с круговыми линиями раздела краевых условий.— *Тепловые напряжения в элементах конструкций*, 1972, вып. 12, с. 95—101.
2. *Векуа И. Н.* Обобщенные аналитические функции. М., Физматгиз, 1959. 628 с.
3. *Кит Г. С., Хай М. В.* Интегральные уравнения пространственных задач термоупругости для тел с трещинами.— *ДАН УССР. Сер. А*, 1975, № 12, с. 1108—1112.
4. *Кит Г. С., Хай М. В.* Интегральные уравнения пространственных задач теплопроводности для тел с трещинами.— *ДАН УССР. Сер. А*, 1975, № 8, с. 704—707.
5. *Леонов М. Я.* Некоторые задачи и приложения теории потенциала.— *ПММ*, 1940, 4, № 5-6, с. 73—86.
6. *Панасюк В. В.* Предельное равновесие хрупких тел с трещинами. К., «Наук. думка», 1968. 246 с.
7. *Черепанов Г. П.* Механика хрупкого разрушения. М., «Наука», 1974. 640 с.

Львовский филиал математической физики
Института математики АН УССР

Поступила в редколлегию
12.X.1976 г.

УДК 539.3

Т. Л. Мартынович

ТОЧНОЕ РЕШЕНИЕ ВТОРОЙ ОСНОВНОЙ ЗАДАЧИ ДЛЯ АНИЗОТРОПНОЙ ПЛАСТИНКИ С КРИВОЛИНЕЙНЫМ ОТВЕРСТИЕМ

Точное решение плоской задачи для анизотропной пластинки, ослабленной отверстием, известно только для случаев, когда отверстие имеет форму круга или эллипса [1, 2]. Для определения напряжений в анизотропной пластинке возле отверстия, мало отличающегося от кругового или эллиптического, применяются приближенные методы [1, 3, 4], которые распространены и на случай многосвязных анизотропных пластинок [5]. В данной статье приведено точное решение второй основной задачи для бесконечной анизотропной пластинки с криволинейным отверстием, ограниченным простым замкнутым контуром.

Пусть анизотропная пластинка, имеющая в каждой точке плоскость упругой симметрии, параллельную срединной плоскости Oxy , занимает бесконечную область S с отверстием, ограниченным простым гладким замкнутым контуром \mathcal{L} . Рассмотрим вторую основную задачу, когда заданы смещения u и v точек границы \mathcal{L} области S , а напряжения в пластинке на бесконечности ограничены: $\sigma_x^\infty = p$, $\sigma_y^\infty = q$, $\tau_{xy}^\infty = r$.

На основании формул плоской задачи анизотропной среды [1, 2] граничные условия записываем в дифференциальной форме

$$dV = d(u + iv) \quad (t \in \mathcal{L}), \quad (1)$$

причем

$$V = \sum_{j=1}^2 [(p_j + iq_j) \varphi_j(z_j) + (\bar{p}_j + i\bar{q}_j) \overline{\varphi_j(z_j)}]; \quad (2)$$

$$\lim_{|z_j| \rightarrow \infty} \varphi_j(z_j) = A^{(j)} \quad (j = 1, 2).$$

Здесь $A^{(j)}$ — постоянные, которые выражаются через напряжения в пластинке на бесконечности; t — аффикс точки контура \mathcal{L} ; $z_j = x + s_j y$ ($j =$